

## BEMERKUNG ZU MEINER ARBEIT "POINCARÉSCHE VERMUTUNG"

KENITI KOSEKI

Es sei  $E^n$  ein  $\beta$ -dimensionaler Euklidischer Raum ( $\infty$  einschlagend), der in  $0$ -,  $1$ - und  $2$ -Simplexe zerlegt ist.  $\mathfrak{P}$  sei ein  $\beta$ -dimensionaler Teilkomplex von  $E^n$ , der mit der  $2$ -Sphäre  $x_1^2 + x_2^2 + x_3^2 = 1$  homöomorph ist und den Rand von  $\mathfrak{R}$  bildet (Vgl. Abb. 1). Es sei  $ABC$  ein Dreieck in  $\mathfrak{R}$ .

Wir bilden topologisch den Komplex  $\mathfrak{P}$  auf die Sphäre  $x_1^2 + x_2^2 + x_3^2 = 1$  ab. Diese Abbildung bezeichnen wir mit  $T_0$ . Der Kantenweg  $CB + BB_{n-1} + \dots + B_1A$  wird durch  $T_0$  auf den Kantenweg  $T_0(CB) + T_0(BB_{n-1}) + \dots + T_0(B_1A)$  in der Sphäre  $x_1^2 + x_2^2 + x_3^2 = 1$  abgebildet. Der Einfachheit halber bezeichnen wir  $T_0(CB)$  wiederum mit  $CB$  (Vgl. Abb. 2).

Wir betten eine Zelle  $Z_1$  und ein Dreieck  $ABC$  in die Kugel  $x_1^2 + x_2^2 + x_3^2 < 1$  ein (Vgl. Abb. 3). Der geschlossene Kantenweg  $AB + BB_{n-1} + \dots + B_1A$  ist verknötet in  $\mathfrak{R}$ , und aber der Kantenweg  $AB + BB_{n-1} + \dots + B_1A$  ist nicht verknötet in  $x_1^2 + x_2^2 + x_3^2 \leq 1$ .

Wann kann der Kantenweg  $AB + BB_{n-1} + \dots + B_1A$  verknötet in  $x_1^2 + x_2^2 + x_3^2 \leq 1$  sein? Diese Frage wird neuerdings von einer gewissen Person zu mir aufgeworfen. In der vorliegenden Arbeit will ich diese Frage beantworten.

Wir nehmen nun an, dass es in  $\mathfrak{R}$  einen die beiden  $D$  und  $E$  verbindenden Kantenweg  $l_1$  gibt, der mit  $\mathfrak{P}$  nur die beiden  $D$  und  $E$  gemeinsam hat. Es sei  $l_2$  ein die beiden  $D$  und  $E$  verbindender Kantenweg in  $\mathfrak{R}$ , der in dem geschraffierten Kantenweg  $C \dots A_1$  auf  $\mathfrak{P}$  enthalten ist. Es sei  $l_3$  ein einfach geschlossener Kantenweg, der durch die beiden Ecken  $B_1$  und  $C_1$  geht und auf  $\mathfrak{P}$  liegt. Es sei  $\alpha + \beta$  ein  $2$ -dimensionaler Komplex in  $\mathfrak{R}$  derart, dass der Rand von  $\alpha + \beta$  aus den beiden  $l_1 + l_2$  und  $l_3$  besteht und der  $\alpha + \beta$  mit einem Kreisring homöomorph ist, und dass der  $\alpha + \beta$  mit  $\mathfrak{P}$  nur die beiden  $l_1 + l_2$  und  $l_3$  gemeinsam hat.

Wir wollen den Komplex  $\alpha + \beta$  zu der Abbildung 3 hinzufügen. Wir fügen zu der Abbildung 3 eine Zelle  $Z_2$  hinzu (Vgl. Abb. 4). Wir betten eine Zelle  $Z_3$  entlang des Kantenweges  $D'C' + C'B' + \dots + B_2'B_1'$  in der Abbildung 3 ein (Vgl. Abb. 5).

Wir fügen den Komplex  $\beta$  entlang des Kantenweges  $E'D' + D'C'' + C''B''' + \dots + B_1'C_1'$  zu der Abbildung 5 hinzu (Vgl. Abb. 6). Wir fügen wiederum den Komplex  $\alpha$  entlang des geschraffierten Kantenweges zu der Abbildung 6 hinzu, und wir lassen die Zelle  $Z_2$  weg (Vgl. Abb. 7).

Es sei  $l_4$  ein die beiden  $E$  und  $C_1$  verbindender Kantenweg in  $\mathfrak{R}$ , der auf dem Komplex  $\alpha + \beta$  liegt und mit  $\mathfrak{A}$  nur die beiden  $E$  und  $C_1$  gemeinsam hat. Es sei  $l_5$  ein die beiden  $E$  und  $C_1$  verbindender Kantenweg in  $\mathfrak{R}$ , der auf  $\mathfrak{A}$  liegt und in dem geschraffierten Kantenweg  $C \cdots A_1$  auf  $\mathfrak{A}$  enthalten ist. Es sei  $l_6$  ein einfach geschlossener Kantenweg, der durch die beiden  $B_7$  und  $F$  geht und auf  $\mathfrak{A}$  liegt. Es sei  $\gamma + \delta$  ein 2-dimensionaler Komplex in  $\mathfrak{R}$  derart, dass der Rand von  $\gamma + \delta$  aus den beiden  $l_4 + l_5$  und  $l_6$  besteht und der  $\gamma + \delta$  mit einem Kreisring homöomorph ist, und dass der  $\gamma + \delta$  mit  $\mathfrak{A}$  nur die beiden  $l_4 + l_5$  und  $l_6$  gemeinsam hat.

Wir wollen den Komplex  $\gamma + \delta$  zu der Abbildung 7 hinzufügen. Wir ersetzen erstens die Zelle  $Z_3$  durch eine neue Zelle  $Z_4$  (Vgl. Abb. 8). Wir fügen zweitens eine Zelle  $Z_5$  entlang des Kantenweges  $E' \cdots D' \cdots F'$  zu der Abbildung 8 hinzu (Vgl. Abb. 9). Wir fügen drittens den Komplex  $\gamma$  entlang des geschraffierten Kantenweges zu der Abbildung 9 hinzu (Vgl. Abb. 10).

Die beiden Kanten  $A''B'$  und  $A''B''$  in der Abbildung 10 sind miteinander äquivalent, so identifizieren<sup>1)</sup> wir die beiden Kanten  $A''B'$  und  $A''B''$ , und wir lassen die Zelle  $Z_1$  weg. Wir fügen danach den Komplex  $\delta$  entlang des geschraffierten Kantenweges zu der Abbildung 10 hinzu (Vgl. Abb. 11).

Wir fügen nun eine Zelle  $Z_6$  entlang des geschraffierten Kantenweges zu der Abbildung 11 hinzu, und wir identifizieren danach die beiden Ecken  $A'$  und  $A''$  (Vgl. Abb. 12).

Es sei  $l_7$  ein die beiden  $B_8$  und  $B_7$  verbindender Kantenweg, der in dem nicht geschraffierten Kantenwege  $BB_{n-1} + \cdots + B_1A$  auf  $\mathfrak{A}$  enthalten ist. Es sei  $l_8$  ein die beiden  $B_7$  und  $G$  verbindender Kantenweg, der in dem Komplex  $\delta$  enthalten ist. Es sei  $l_9$  ein die beiden  $G$  und  $B_2$  verbindender Kantenweg, der auf  $\mathfrak{A}$  liegt. Es sei  $l_{10}$  ein die beiden  $B_2$  und  $B_8$  verbindender Kantenweg, der in  $\mathfrak{R}$  enthalten ist und mit  $\mathfrak{A}$  nur die beiden  $B_2$  und  $B_8$  gemeinsam hat. Es sei  $\lambda$  ein 2-dimensionaler Komplex in  $\mathfrak{R}$  derart, dass der Rand von  $\lambda$  aus den  $l_7, l_8, l_9$  und  $l_{10}$  besteht und der  $\lambda$  mit einer Kreisscheibe homöomorph ist, und dass der  $\lambda$  mit  $\mathfrak{A}$  nur die beiden  $l_7$  und  $l_9$  gemeinsam hat.

Wir fügen den Komplex  $\lambda$  entlang des geschraffierten Kantenweges zu der Abbildung 12 hinzu (Vgl. Abb. 13).

Es sei  $l_{11}$  ein die beiden  $B$  und  $B_{p-1}$  verbindender Kantenweg, der in  $\mathfrak{R}$  enthalten ist und mit  $\mathfrak{A}$  nur die beiden  $B$  und  $B_{p-1}$  gemeinsam hat. Es sei  $l_{12}$  ein die beiden  $B$  und  $B_8$  verbindender Kantenweg, der in dem Kantenwege  $BB_{n-1} + \cdots + B_1A$  auf  $\mathfrak{A}$  enthalten ist. Es sei  $l_{13}$  ein die beiden  $B_7$  und  $B_{p-1}$  verbindender Kantenweg, der in dem Kantenwege  $BB_{n-1} + \cdots + B_1A$  auf  $\mathfrak{A}$

<sup>1)</sup> Vgl. K. Koseki. Poincarésche Vermutung in Topologie. S. 104. Zeile 9.

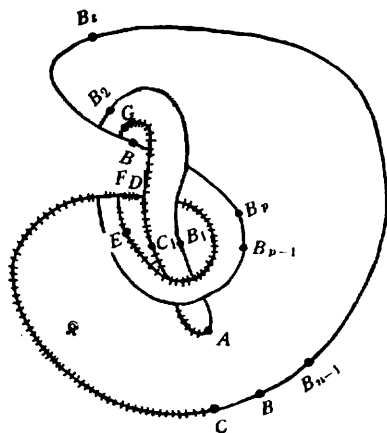


Abb. 1.

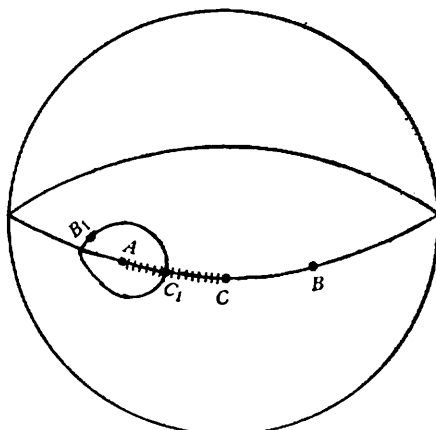


Abb. 2.

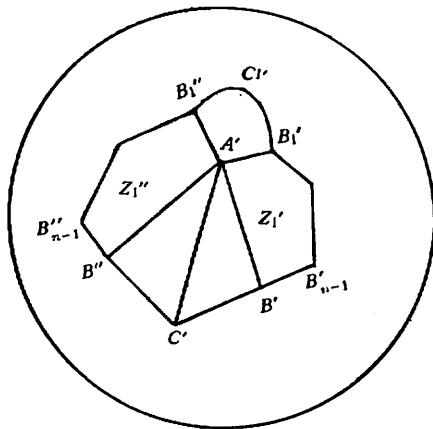


Abb. 3.

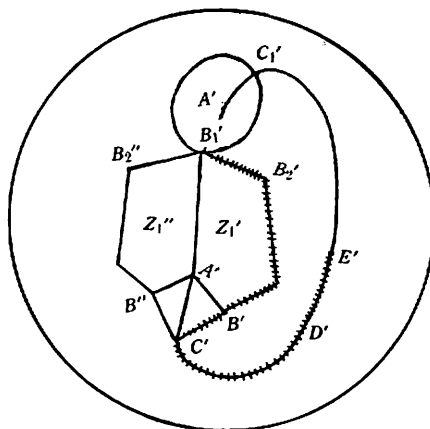


Abb. 4.

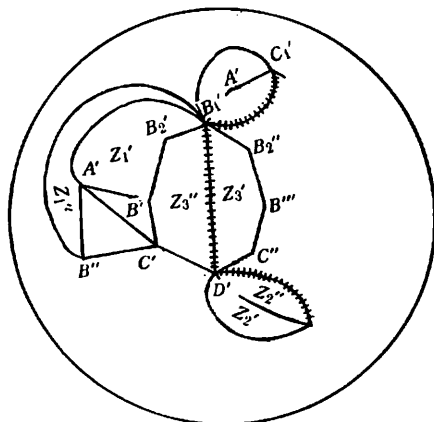


Abb. 5.

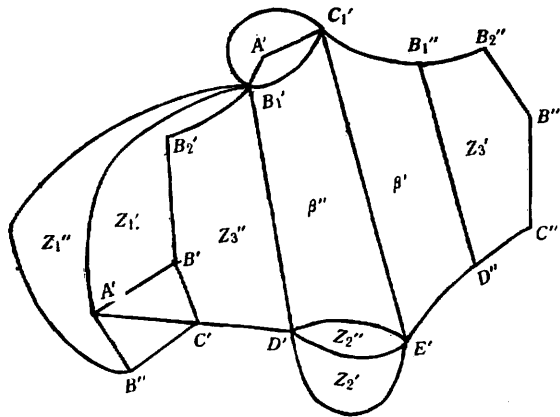


Abb. 6.

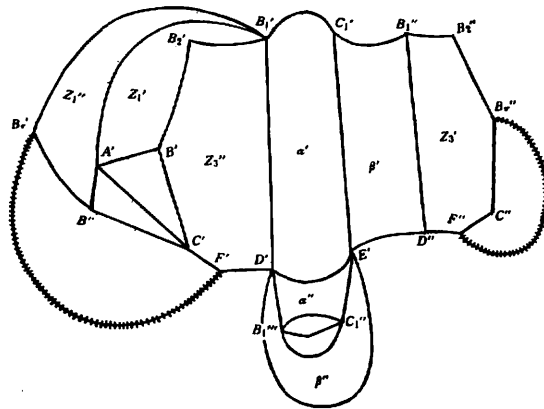


Abb. 7.

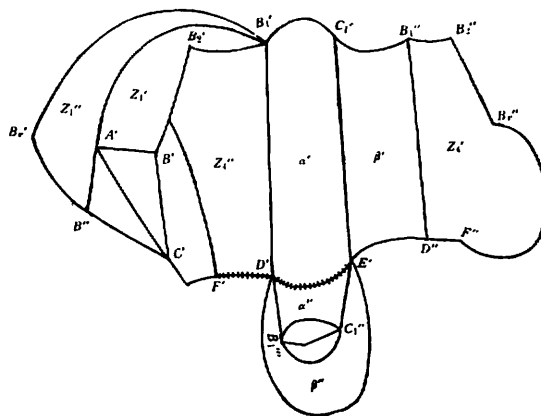


Abb. 8.

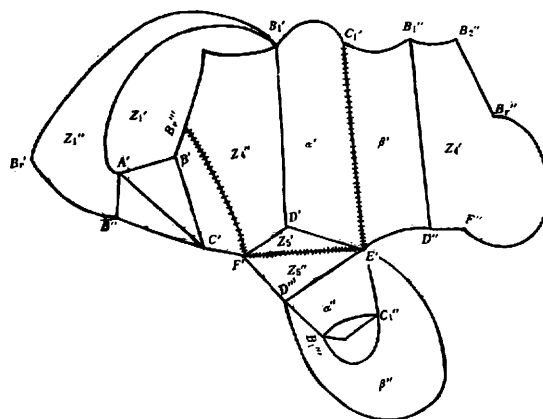


Abb. 9.

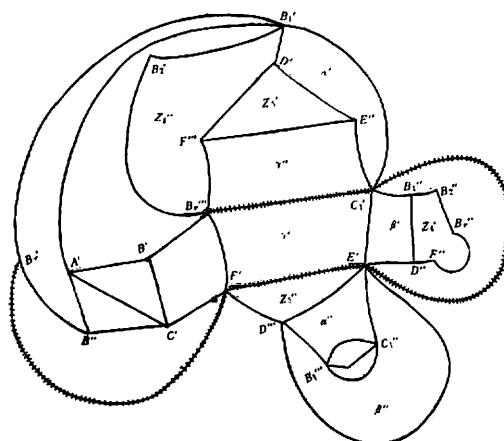


Abb. 10.

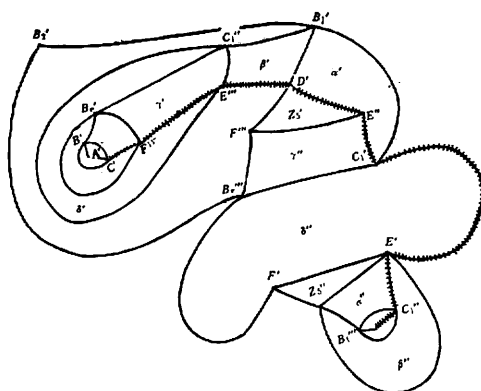


Abb. 11.

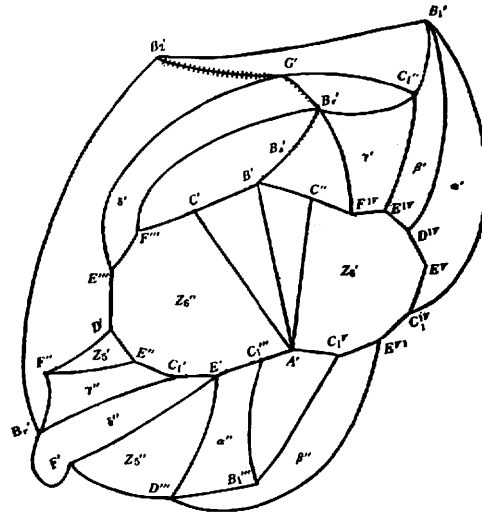


Abb. 12.

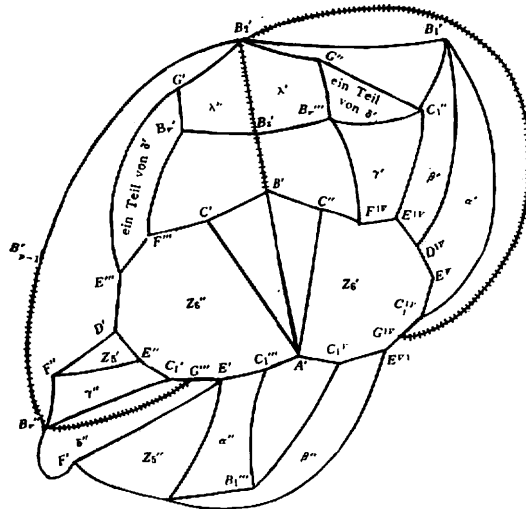


Abb. 13.

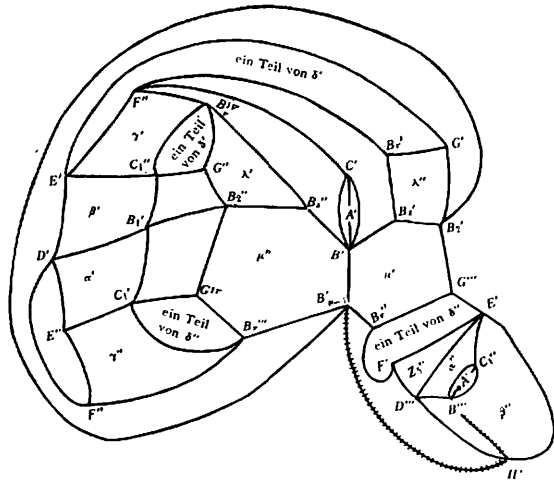


Abb. 14.

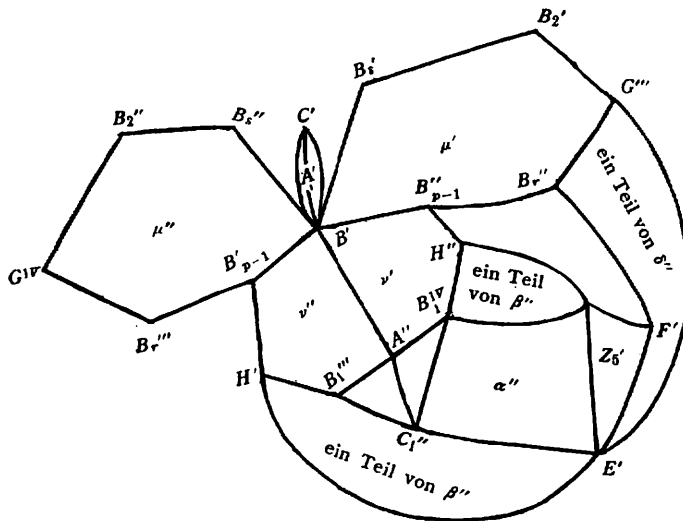


Abb. 15.

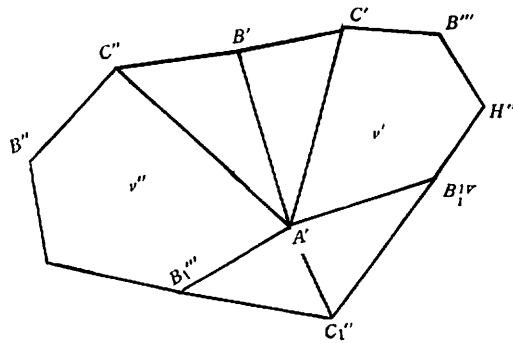


Abb. 16.

enthalten ist. Es sei  $l_{14}$  ein die beiden  $B_7$  und  $G$  verbindender Kantenweg, der in dem Komplex  $\delta$  enthalten ist. Es sei  $l_{15}$  ein die beiden  $G$  und  $B_2$  verbindender Kantenweg von der Art, dass der  $l_9 + l_{15}$  einfach geschlossen ist und der  $l_{15}$  auf  $\mathfrak{A}$  liegt. Es sei  $\mu$  ein 2-dimensionaler Komplex in  $\mathfrak{K}$ , derart dass der Rand von  $\mu$  aus den  $l_{10}$ ,  $l_{11}$ ,  $l_{12}$ ,  $l_{13}$ ,  $l_{14}$  und  $l_{15}$  besteht und der  $\mu$  mit einer Kreisscheibe homöomorph ist, und dass der  $\mu$  mit  $\mathfrak{A}$  nur die  $l_{12}$ ,  $l_{13}$  und  $l_{15}$  gemeinsam hat.

Die beiden Kanten  $B'C'$  und  $B'C''$  in der Abbildung 13 sind miteinander äquivalent, so identifizieren wir die beiden Kanten  $B'C'$  und  $B'C''$ , und zugleich lassen wir die Zelle  $Z_6$  weg. Wir fügen danach den Komplex  $\mu$  entlang des geschraffierten Kantenweges zu der Abbildung 13 hinzu (Vgl. Abb. 14).

Es sei  $l_{16}$  ein die beiden  $B_{n-1}$  und  $H$  verbindender Kantenweg, der auf  $\mathfrak{A}$  liegt. Es sei  $l_{17}$  ein die beiden  $H$  und  $B_1$  verbindender Kantenweg, der in dem Komplex  $\beta$  enthalten ist und mit  $\mathfrak{A}$  nur die beiden  $H$  und  $B_1$  gemeinsam hat. Es sei  $l_{18}$  ein die beiden  $B_1$  und  $A$  verbindender Kantenweg, der in dem Kantenwege  $BB_{n-1} + \dots + B_1A$  auf  $\mathfrak{A}$  enthalten ist. Es sei  $\nu$  ein 2-dimensionaler Komplex in  $\mathfrak{K}$  derart, dass der Rand von  $\nu$  aus den  $l_{11}$ ,  $l_{16}$ ,  $l_{17}$ ,  $l_{18}$  und der Kante  $AB$  besteht und der  $\nu$  mit einer Kreisscheibe homöomorph ist, und dass der  $\nu$  mit  $\mathfrak{A}$  die  $l_{16}$  und  $l_{18}$  gemeinsam hat.

Wir fügen den Komplex  $\nu$  entlang des geschraffierten Kantenweges zu der Abbildung 14 hinzu (Vgl. Abb. 15). Wir identifizieren danach die beiden Ecken  $A'$  und  $A''$  (Vgl. Abb. 16).

Wir bezeichnen die Abbildung von  $\mathfrak{K}$  auf  $x_1^2 + x_2^2 + x_3^2 \leq 1$  (Abb. 16) mit  $T$ . Der Kantenweg  $T(AB) + T(BB_{n-1}) + \dots + T(B_1A)$  ist dann verknottet in  $x_1^2 + x_2^2 + x_3^2 \leq 1$ .

DEPARTMENTS OF MATHEMATICS,  
OKAYAMA UNIVERSITY

(Received February 15, 1960)